Eingabe: Farbmetrisches Drucker-Reflektiv-System FRS06

für Buntton *h = *lab*h* = 37/360 = 0.102**

lab*tch* und *lab*nch

D65: Buntton O

LCH*Ma: 33 78 37

olv*Ma: 1.0 0.0 0.0

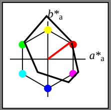

FRS06; adaptierte CIELAB-Daten

	$L^*=L^*_a$	a^*_a	b^*_a	$C^*_{ab,a}$	$h^*_{ab,a}$
O_m	32.57	62.32	46.49	77.75	37
Y_m	82.73	−3.16	113.99	114.03	92
L_m	39.43	−61.79	45.84	76.95	143
C_m	47.86	−26.79	−34.24	43.49	232
V_m	10.16	55.12	−61.03	82.24	312
M_m	34.5	80.68	−33.92	87.52	337
N_m	6.25	0.0	0.0	0.0	0
W_m	91.97	0.0	0.0	0.0	0
R_{CIE}	39.92	59.8	31.05	67.38	27
J_{CIE}	81.26	−2.52	76.25	76.29	92
G_{CIE}	52.23	−41.56	17.14	44.96	158
B_{CIE}	30.57	2.63	−43.77	43.86	273

Dreiecks-Helligkeit *t*

%Umfang

u^*_{rel} = 115

%Regularität

$g^*_{H,rel}$ = 28

$g^*_{C,rel}$ = 38

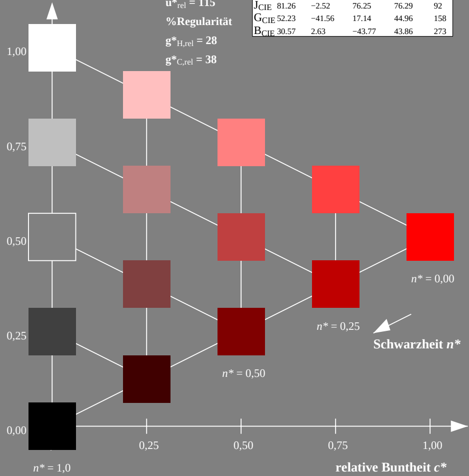

Ausgabe: Farbmetrisches Drucker-Reflektiv-System FRS06

für Buntton *h = *lab*h* = 37/360 = 0.102**

LAB*LCH, LAB*NCH

D65: Buntton O

LCH*Ma: 33 78 37

olv*Ma: 1.0 0.0 0.0

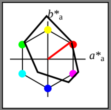

FRS06; adaptierte CIELAB-Daten

	$L^*=L^*_a$	a^*_a	b^*_a	$C^*_{ab,a}$	$h^*_{ab,a}$
O_m	32.57	62.32	46.49	77.75	37
Y_m	82.73	−3.16	113.99	114.03	92
L_m	39.43	−61.79	45.84	76.95	143
C_m	47.86	−26.79	−34.24	43.49	232
V_m	10.16	55.12	−61.03	82.24	312
M_m	34.5	80.68	−33.92	87.52	337
N_m	6.25	0.0	0.0	0.0	0
W_m	91.97	0.0	0.0	0.0	0
R_{CIE}	39.92	59.8	31.05	67.38	27
J_{CIE}	81.26	−2.52	76.25	76.29	92
G_{CIE}	52.23	−41.56	17.14	44.96	158
B_{CIE}	30.57	2.63	−43.77	43.86	273

CIELAB-Helligkeit *L*

%Umfang

u^*_{rel} = 115

%Regularität

$g^*_{H,rel}$ = 28

$g^*_{C,rel}$ = 38

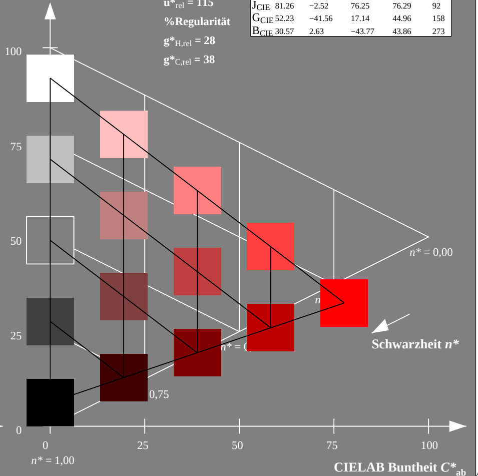

VG220−7, 5 stufige Reihen für konstanten CIELAB Buntton 37/360 = 0.102 (links)

5 stufige Reihen für konstanten CIELAB Buntton 37/360 = 0.102 (rechts)

Siehe ähnliche Dateien: http://www.ps.bam.de/VG22/
Technische Information: http://www.ps.bam.de Version 2.1, io=1,1

BAM-Registrierung: 20060101-VG22/L22G00N1.PS/.TXT
Anwendung für Beurteilung und Messung von Drucker- oder Monitorsystemen
BAM-Material: Code=rha4ta
/VG22/ Form: 1/10, Serie: 1/1, Seite: 1